

## ЧИСЛЕННЫЙ АНАЛИЗ ЛАМИНАРНЫХ ЗАКРУЧЕННЫХ ПОТОКОВ НЕСЖИМАЕМОЙ ЖИДКОСТИ В ДЕКАРТОВО-ВИНТОВЫХ КООРДИНАТАХ

### АННОТАЦИЯ

В целях упрощения численного решения и аналитических исследований системы уравнений теплообмена в закрученных областях, использована декартово-винтовая система координат. В таких координатах закрученная область представляет собой цилиндр, что позволяет, в частности, обойти трудности построения расчетных сеток и для стабилизированных течений рассматривать задачу как двухпараметрическую. При этом в уравнениях движения и энергии появляются дополнительные члены уравнений, которые рассматриваются как подобные источникам.

### 1. ВВЕДЕНИЕ

Закрученные течения широко используются для интенсификации теплообмена. При этом возможна турбулизация всего потока теплоносителя путем применения в качестве турбулизаторов шнеков или скрученных лент; или же только пристенного слоя применением искусственной шероховатости, спиральных канавок, лунок и т.д. Несомненный интерес как эффективный способ интенсификации теплообмена представляет применение так называемых профилированных труб. В данной работе рассматривается численное решение задачи о теплообмене в закрученных потоках при ламинарном режиме течения.

Цилиндрические  $(r, \varphi, z)$  и декартовы  $(x, y, z)$  координаты одинаково неудобны как для численных так и для аналитических расчетов в закрученных областях. Более удобными для закрученных течений являются, в частности, винтовые координаты, которые применялись, например, в [1] и [2] для аналитического исследования течений реологических жидкостей, имеющих большую вязкость, что позволило не учитывать конвективные члены в уравнениях движения.

Впервые полные уравнения движения в напряжениях и уравнение энергии в винтовых координатах были выведены в [4].

$$\left. \begin{aligned} \rho \left( \frac{\partial u}{\partial t} + u \frac{\partial u}{\partial x} + v \frac{\partial u}{\partial y} + w \frac{\partial u}{\partial z} \right) &= -\frac{\partial p}{\partial x} + \mu \left( \frac{\partial^2 u}{\partial x^2} + \frac{\partial^2 u}{\partial y^2} + \frac{\partial^2 u}{\partial z^2} \right) + S_{u1} + S_{u2} + S_{u3} + S_{u4}, \\ \rho \left( \frac{\partial v}{\partial t} + u \frac{\partial v}{\partial x} + v \frac{\partial v}{\partial y} + w \frac{\partial v}{\partial z} \right) &= -\frac{\partial p}{\partial y} + \mu \left( \frac{\partial^2 v}{\partial x^2} + \frac{\partial^2 v}{\partial y^2} + \frac{\partial^2 v}{\partial z^2} \right) + S_{v1} + S_{v2} + S_{v3} + S_{v4}, \\ \rho \left( \frac{\partial w}{\partial t} + u \frac{\partial w}{\partial x} + v \frac{\partial w}{\partial y} + w \frac{\partial w}{\partial z} \right) &= -\frac{\partial p}{\partial z} + \mu \left( \frac{\partial^2 w}{\partial x^2} + \frac{\partial^2 w}{\partial y^2} + \frac{\partial^2 w}{\partial z^2} \right) + S_{w2} + S_{w3}, \\ \frac{\partial}{\partial x} u + \frac{\partial}{\partial y} v + \frac{\partial}{\partial z} w &= 0, \\ \rho c_p \left( \frac{\partial T}{\partial t} + u \frac{\partial T}{\partial x} + v \frac{\partial T}{\partial y} + w \frac{\partial T}{\partial z} \right) &= \lambda \left( \frac{\partial^2 T}{\partial x^2} + \frac{\partial^2 T}{\partial y^2} + \frac{\partial^2 T}{\partial z^2} \right) + S_T, \end{aligned} \right\} \quad (2)$$

Дальнейшим направлением в разработке более удобных для закрученных течений систем координат является введение декартово-винтовых координат, в которых уравнения движения имеют более простой для численного решения CFD-пакетами вид. Потребность в таких уравнениях вызвана принципиально неустранимыми трудностями при построении расчетных сеток для закрученных областей.

### 2. УРАВНЕНИЯ ДВИЖЕНИЯ И ЭНЕРГИИ В ДЕКАРТОВО-ВИНТОВЫХ КООРДИНАТАХ

Декартово-винтовые координаты  $(x', y', z')$ , связаны с декартовыми координатами  $(x, y, z)$  соотношениями:

$$\left. \begin{aligned} x &= x' \cos\left(\frac{z'}{s}\right) - y' \sin\left(\frac{z'}{s}\right), \\ y &= x' \sin\left(\frac{z'}{s}\right) + y' \cos\left(\frac{z'}{s}\right), \\ z &= z'; \end{aligned} \right\} \quad (1)$$

здесь  $s = \frac{h}{2\pi}$ ,  $h$  – шаг закрутки.

Закрученную область считаем расположенной так, что при фиксированных  $(x', y')$  координатной линией будет спираль, пересекающая плоскость  $Ox'y'$  (при  $s < \infty$ ) под углом не равным  $\pi/2$ . В полученных таким образом неортогональных координатах плоскость  $Ox'y'$  при перемещении вдоль положительного направления оси  $z$  поворачивается по “правилу буравчика”.

Уравнения движения и энергии в декартово-винтовых координатах принимают следующий вид, (при записи штрихи опущены):

где

$$\left. \begin{aligned} S_{u1} &= \frac{\rho w}{s} \left( 2v + \frac{xw}{s} \right), \quad S_{u2} = -\frac{y}{s} \left[ \frac{1}{s} \left( y \frac{\partial p}{\partial x} - x \frac{\partial p}{\partial y} \right) + \frac{\partial p}{\partial z} \right], \quad S_{u3} = \mu \Lambda_s u; \\ S_{v1} &= \frac{\rho w}{s} \left( -2u + \frac{yw}{s} \right), \quad S_{v2} = \frac{x}{s} \left[ \frac{1}{s} \left( y \frac{\partial p}{\partial x} - x \frac{\partial p}{\partial y} \right) + \frac{\partial p}{\partial z} \right], \quad S_{v3} = \mu \Lambda_s v; \\ S_{w2} &= -\frac{1}{s} \left( y \frac{\partial p}{\partial x} - x \frac{\partial p}{\partial y} \right), \quad S_{w3} = \mu \Lambda_s w, \quad S_T = \lambda \Lambda_s T; \\ S_{u4} &= \frac{2\mu}{s} \left( -\frac{y}{s} \frac{\partial v}{\partial x} + \frac{x}{s} \frac{\partial v}{\partial y} - \frac{\partial v}{\partial z} - \frac{\partial w}{\partial y} \right) + \frac{u}{s^2}, \quad S_{v4} = \frac{2\mu}{s} \left( \frac{y}{s} \frac{\partial u}{\partial x} - \frac{x}{s} \frac{\partial u}{\partial y} + \frac{\partial u}{\partial z} + \frac{\partial w}{\partial x} \right) - \frac{v}{s^2}. \end{aligned} \right\} \quad (3)$$

В (2)  $\Lambda_s$  – некоторый параболический оператор, появляющийся вследствие записи оператора Лапласа в неортогональных декартово-винтовых координатах и равен:

$$\Lambda_s = \frac{1}{s^2} \left( y^2 \frac{\partial^2}{\partial x^2} + x^2 \frac{\partial^2}{\partial y^2} - 2xy \frac{\partial^2}{\partial x \partial y} - x \frac{\partial}{\partial x} - y \frac{\partial}{\partial y} \right) + \frac{2}{s} \left( y \frac{\partial^2}{\partial x \partial z} - x \frac{\partial^2}{\partial y \partial z} \right),$$

где  $S_{u1}$  и  $S_{v1}$  – представляют собой сумму кориолисовой и центробежной сил и присутствуют в первых двух уравнениях (1);  $S_{u2}$ ,  $S_{v2}$  и  $S_{w2}$  – учитывают изменение выражений для компонент вектора градиента давления вследствие изменения координатной системы;  $S_{u3}$ ,  $S_{v3}$ ,  $S_{w3}$  и  $S_T$  – соответствующие изменения в выражениях оператора Лапласа;  $S_{u4}$  и  $S_{v4}$  – следствие записи дивергенции тензора напряжений. В виде (2) система уравнений теплообмена удобна для численного решения “тяжелыми” пакетами.

В данном докладе из-за ограниченности объема доклада подробности (см. [3] и [7]) вывода уравнений движения и энергии (2) в декартово-винтовых координатах не приводятся.

Закрученные области течения в декартово-винтовых координатах представляют собой цилиндры, благодаря чему задача построения сеток резко упрощается. Плата за это – появление новых членов в уравнениях движения и энергии.

### 3. СТАБИЛИЗИРОВАННЫЙ ТЕПЛООБМЕН

Переход к декартово-винтовым координатам позволяет рассмотреть автомодельную по переменной  $z$  задачу и свести 3-мерную задачу к 2-мерной, или, в терминологии [5], к двухпараметрической, поскольку число уравнений не изменяется, но можно из (2) убрать все производные по  $z$ , кроме производных давления и температуры и оставить только переменные  $(x, y)$ .

Производные давления и температуры по  $z$ , как известно, при стабилизированном течении не зависят от  $(x, y, z)$  и, следовательно, должны быть положены константами, вариации которых дают различные расходы жидкости.

Рассмотрим стабилизированный теплообмен ламинарного течения в профилированной трубе (см. рис. 1) при  $q = \text{const}$  вдоль всей поверхности.

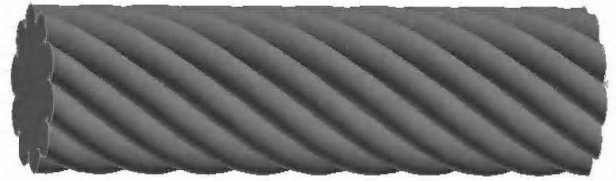


Рис. 1. Профилированная труба

Задача решалась численно в 2-мерном приближении, описанном выше, с использованием пакета Fluent, осевая скорость  $w$  определялась решением скалярного транспортного уравнения, в котором в качестве коэффициента переноса принимается вязкость. Источниковые члены аппроксимировались и вводились в расчет через пользовательские функции.

Результаты численного исследования теплообмена при течении воды в профилированной трубе (см. рис. 1) со среднemasсовой температурой в сечении  $T_0$ , имеющей эффективный радиус 5.5 мм и  $b$  шаг закрутки 28 мм представлены на рис. 2–4. Полагалось:

$$\frac{\partial p}{\partial z} = -4000 \text{ Па/м}, \quad q = 1 \cdot 10^5 \text{ Вт/м}^2. \quad (4)$$

При этом число Рейнольдса, вычисленное по усредненной скорости  $w$  и эффективному диаметру оказалось равным  $Re \cong 1460$ .

Изолинии функции тока, изображенные на рис. 2 показывают, что в спиральных канавках трубы образуются вихри Тейлора–Гертлера, соприкасающиеся как со стенкой, так и с основным потоком теплоносителя. Составляющая скорости  $w$  направлена «на читателя».

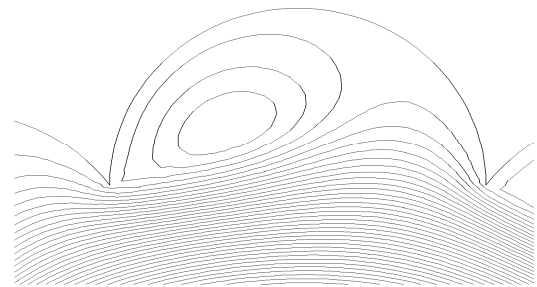


Рис. 2. Изолинии функции тока профилированной трубы

Таким образом, конвекция в поперечном основном потоку направлении значительна и оказывает определяющее значение на температурное поле (см. рис. 3).

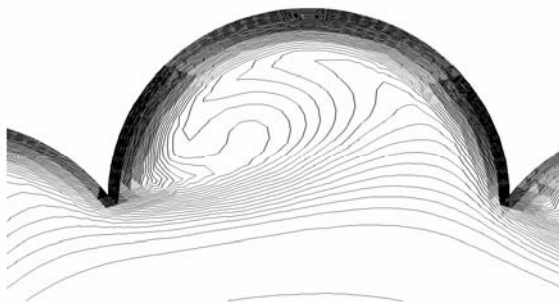


Рис. 3. Изолинии температуры

Зависимость числа Нуссельта от длины вдоль кривой периметра представлена на рис. 4. Видим, что даже минимальные значения  $Nu$  значительно превышают значения этого критерия для стабилизированного течения в круглой трубе.

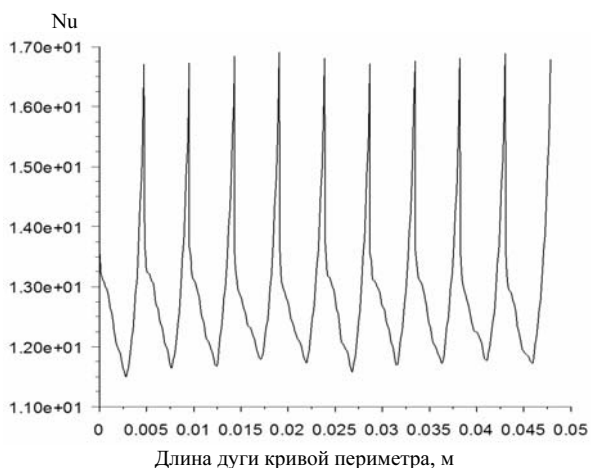


Рис. 4. Число Нуссельта в зависимости от длины вдоль кривой периметра

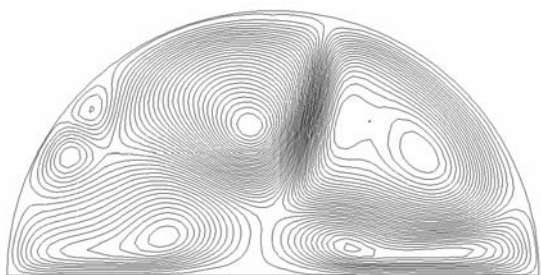


Рис. 5. Изолинии функции тока в трубе со скрученной лентой

Подобные расчеты были проведены и для трубы со скрученной лентой при тех же условиях (3). На рис. 5 представлены изолинии функции тока ( $w$  направлена на читателя), а на рис. 6 изолинии температуры для трубы со скрученной лентой с шагом  $h = 28$  мм.

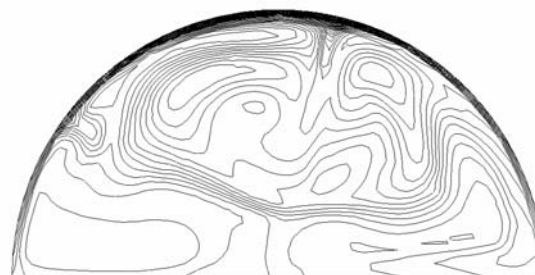


Рис. 6. Изолинии температуры в трубе со скрученной лентой

## ВЫВОДЫ

Получена система уравнений в декартово-винтовых координатах, адаптированная к описанию процессов теплообмена в закрученных областях и к численному решению с применением CFD-пакетов.

Обоснована возможность перехода от 3-параметрической задачи к 2-параметрической модели, описывающей теплообмен стабилизированных течений.

Приведены результаты численных расчетов теплообмена в профилированной трубе и трубе со скрученной лентой.

Установлено, что использование профилированной трубы позволяет существенно интенсифицировать теплообмен.

## СПИСОК ЛИТЕРАТУРЫ

1. **Иванова А.И.** Винтообразное движение вязкой несжимаемой жидкости // Изв. АН СССР. 1957. № 12. С. 46–50.
2. **Назмеев Ю.Г.** Гидродинамика и теплообмен закрученных потоков реологически сложных жидкостей. М.: Энергоатомиздат, 1996. 304 с.
3. **Корнев Г.В.** Тензорное исчисление. М.: МФТИ, 2000. 239 с.
4. **Токарев Ю.Н.** Уравнения теплообмена закрученных потоков в полярно-спиральных координатах // Вестник МЭИ. 2004. № 5. С. 115–117.
5. **Васильев О.Ф.** Основы механики винтовых и циркуляционных потоков. М.: Госэнергоиздат, 1958. 144 с.
6. **Ерохина А.М., Комов А.Т., Токарев Ю.Н.** Численное исследование ламинарных закрученных потоков. XV Школа-семинар молодых ученых и специалистов / под руководством акад. РАН А.И. Леонтьева «Проблемы газодинамики и тепломассообмена в энергетических установках». Калуга, 2005. С. 420–422.
7. **Астарита Дж., Марруччи Дж.** Основы гидромеханики неньютоновских средств. М.: Мир, 1978. 309 с.